钢铁冶金与材料

MgO 对高炉炉料软熔过程的影响

卢建光12 李建鹏3 刘小杰3 刘 凯3 吕 庆3

(1. 东北大学冶金学院 辽宁 沈阳 110819; 2. 河北钢铁集团邯郸分公司 河北 邯郸 056000; 3. 华北理工大学冶金与能源学院 河北 唐山 063009)

摘 要:以高炉炉料结构为基础 采用高温模拟方法 研究了混合炉料中不同 MgO 含量对炉料软熔性能的影响规律。结果表明 随着混合炉料中 MgO 含量的增加 开始软化温度和软化结束温度均升高 软化温度区间变宽; MgO 含量越高软化结束温度与压差陡升温度的差距越大; 压差陡升温度、滴落温度和熔化温度区间均随着混合炉料中 MgO 含量的升高呈升高的趋势 导致熔化带的厚度增加; 软熔带的最大压差和综合透气性指数均随着混合炉料中 MgO 含量的增加而增加 不利于高炉的稳定顺行。

关键词: 高炉; MgO; 软熔性能; 透气性; 初渣

中图分类号: TF532 文献标志码: A 文章编号: 1004-7638(2020) 05-0113-06

DOI: 10.7513/j. issn. 1004-7638. 2020. 05. 019 开放科学(资源服务)标识码(OSID):



听语音 聊科研

Effect of MgO on the Softening-melting Process of BF Burden

Lu Jiangang^{1 2} ,Li Jianpeng³ ,Liu Xiaojie³ ,Liu Kai³ ,Lü Qing³

(1. School of Metallurgy ,Northeastern University ,Shenyang 110819 ,Liaoning ,China; 2. HBIS Group Hansteel Company , Handan 056000 ,Hebei ,China; 3. College of Metallurgy & Energy ,North China University of Science and Technology ,Tang-shan 063009 ,Hebei ,China)

Abstract: The influences of different MgO contents in the mixed burden on the softening-melting properties of burden by high temperature simulation experiment were studied. The results indicate that with the increase of MgO content in the mixed burden $T_{10\%}$ and $T_{40\%}$ increase and the softening temperature range widens. The higher the MgO content the greater the difference between $T_{40\%}$ and T_s . Besides T_s , T_d and ΔT_{ds} all increase with the increase of MgO content in the mixed burden which leads to the increase of the thickness of the melting zone. Finally the ΔP_{max} and S of the softening-melting zone increase with the increase of MgO content in the mixed burden which is not conducive to the stability of the blast furnace.

Key words: blast furnace 'MgO softening-melting property air permeability 'primary slag

0 引言

随着我国外购铁矿粉数量的增多,使得高炉由含铁炉料带入高炉的Al₂O₃含量增加,高炉终渣中

 Al_2O_3 含量达到 18% ,使得高炉渣的流动性能劣化 严重 ,直接影响高炉冶炼的能耗及铁水质量。为保证高炉终渣具有较好的性能 ,必须保证渣中含有合适的 MgO 量 $^{[1-3]}$ 。沈峰满 $^{[4]}$ 等研究了高炉内合适的

收稿日期: 2019-12-29

基金项目: 国家自然科学基金项目(U1360205)。

作者简介: 卢建光(1971—) ,男 ,汉族 ,河北邯郸人 ,博士生 ,正高级工程师 ,主要从事高炉炼铁方向的研究 ,E-mail: 15081586028@163. com; 通讯作者: 吕 庆(1954—) ,男 ,汉族 ,河北唐山人 ,博士 ,教授 ,主要从事高炉炼铁方向的研究 , E-mail: lg@ ncst. edu. cn。

MgO 含量,指出当渣中 Al_2O_3 含量小于 14% 时,MgO 可根据生产要求添加。 Al_2O_3 含量为 $15\% \sim 17\%$ 时,适宜的镁铝比应控制为 $0.40 \sim 0.50$; 当渣中 Al_2O_3 含量大于 18% 时,适宜的镁铝比应控制为 $0.45 \sim 0.55$ 。高炉造渣所需的 MgO 一般由烧结矿和球团矿带入高炉。目前,科研工作者对 MgO 对烧结矿和球团矿冶金性能的影响做了大量的研究 $[5^{-10}]$ 指出由于 MgO 与磁铁矿的固溶作用,促进了磁铁矿的稳定存在,这使得烧结矿的还原性降低;当烧结矿中 MgO 的含量增加时,烧结矿中游离的 MgO 含量增加,使烧结矿的矿物组成和结构变得不均匀,导致烧结矿强度和抗粉化能力降低;球团矿中含 MgO 添加剂的量增加,球团矿中的孔隙度及孔径也会随之变大,导致球团矿的抗压强度下降。目前,

关于 MgO 的研究多集中在对单一炉料冶金性能的研究上,而关于高炉混合炉料条件下 MgO 对炉料软熔性能的影响研究较少。笔者以高炉炉料结构为基础,利用高温模拟试验,研究了混合炉料中不同MgO 含量对炉料软熔性能的影响规律,研究结果将为高炉生产提供理论指导。

1 试验方法

1.1 炉料软熔试验方案

表 1 烧结矿和球团矿主要化学成分 Table 1 Major chemical compositions of the sinter and pellets

编号	w/%								
	TFe	CaO	SiO ₂	$\mathrm{Al}_2\mathrm{O}_3$	$V_{2}O_{5}$	TiO ₂	MgO	- CaO/SiO ₂	
烧结矿 A	55.35	11.05	5.31	1.67	0.27	1.39	1.06	2.08	
烧结矿 B	55.04	11.05	5.30	1.66	0.26	1.38	1.46	2.08	
烧结矿 C	54.74	11.02	5.29	1.64	0.26	1.36	1.86	2.08	
烧结矿 D	54.49	11.02	5.29	1.63	0.26	1.35	2.19	2.08	
烧结矿 E	54.26	11.01	5.28	1.62	0.26	1.34	2.50	2.08	
球团矿 A	58.93	1.433	5.843	1.63	0.41	3.39	3.05	0.25	
球团矿 B	56.72	0.10	6.54	2.95	0.03	0.10	0.07	0.02	

表 2 焦炭主要成分 Table 2 Major chemical compositions of coke

焦炭的工业分析/%				焦炭灰分成分/%								
FC	V	A	H_2O	S	CaO	SiO_2	MgO	$\mathrm{Al}_2\mathrm{O}_3$	K_2O	Na_2O	$\mathrm{Fe_2O_3}$	${ m TiO}_2$
81.11	0.94	12.58	4.60	0.77	6.16	37.73	0.51	46.99	0.13	0.19	5.58	2.71

试验所用设备如图 1 所示,主要由造气装置及高温炉构成。高温炉最高温度可达到 1 600 °C,高温炉配备压力传感器、位移传感器以及温度传感器,对高温炉内炉料的状态进行实时监测,并由电脑实时记录其数据变化。

1.2 试验方案

我国高炉炉料结构多为高碱度烧结矿配加酸性球团矿,大多数企业球团矿的用量仅为 20% 左右,本试验选用 80% 的烧结矿配加 20% 的球团矿的典型炉料结构进行试验。通过不同 MgO 含量的烧结矿与球团矿配制不同 MgO 含量的混合含铁炉料,具体化学成分如表 3 所示。

在石墨坩埚中,先装 20 mm 焦炭,再装按比例

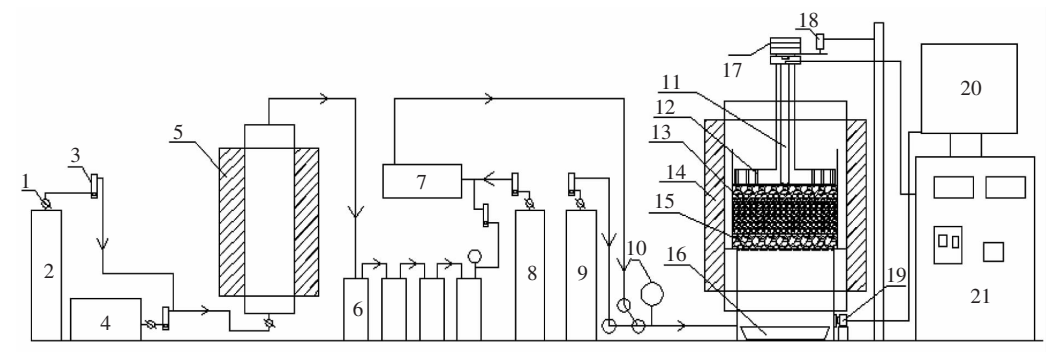
混合的烧结矿和球团矿 50 mm ,最后再装 20 mm 的 焦炭 ,然后将装好炉料的坩埚放在石墨底座上并将压杆压头放入坩埚中 ,在 1 kg/cm^2 的荷重下完成试验。500 $^{\circ}$ 之后高温炉由电脑程序控制升温 $500 ^{\circ}$ 1 300 $^{\circ}$ 的升温速度为 $10 ^{\circ}$ $^{\circ}$ /min , $1 \text{ 300 } ^{\circ}$ 1 $550 ^{\circ}$ 的升温速率为 $5 ^{\circ}$ /min。温度低于 $500 ^{\circ}$ 它 的升温速率为 $5 ^{\circ}$ /min。温度低于 $500 ^{\circ}$ 的混合气体 (15 L/min) ,其中 $100 ^{\circ}$ 人有,这一个 $100 ^{\circ}$ 人,是 $100 ^{\circ}$,,是 $100 ^{\circ}$,是 $100 ^{\circ}$,是 $100 ^{\circ}$,是 $100 ^{\circ}$,是 100

陡升温度为熔化开始温度 (T_a) ; 炉料发生滴落时的 温度为滴落温度(T_d); $T_{40\%}$ 与 $T_{10\%}$ 的温度差为软化 温度区间 (ΔT_a) ; T_a 与 T_s 的温度差为熔化温度区间 (ΔT_{a}) ; 压差达最大时对应的压差为最大压差 (ΔP_{max}) 。以软熔带综合透气性指标 $S(\text{kPa} \cdot \mathbb{C})$ 来 表征高炉软熔带的透气性好坏,其值为在压差开始

上升至开始滴落的温度区间内压差的积分值(见公 式1)。 S 越大,高炉软熔带透气性越差,高炉生产 越困难 焦比越高。

$$S = \int_{T}^{T_d} (\Delta P_{\mathrm{T}} - \Delta P_{\mathrm{S}}) \, \mathrm{d}T \tag{1}$$

式中 ΔP_{T} 是温度 T 时的压差 ΔP_{S} 是温度为 T_{S} 时 的压差。



1-气体减压阀;2-氧气;3-流量计;4-空气压缩机;5-造气炉;6-洗气瓶;7-混气罐;8-氮气;9-氮气;10-压力表; 11-热电偶;12-石墨压头;13-含铁炉料;14-高温熔滴炉;15-焦炭;16-盛物坩埚;17-压力砝码;18-位移计;19-摄像头;20-电脑;21-控制柜

图 1 高温炉示意

Fig. 1 Schematic diagram of high temperature furnace

表 3 炉料主要化学成分

Table 3 Major chemical compositions of each testing	g schemes
---	-----------

方案	TFe	CaO	SiO_2	Al_2O_3	V_2O_5	${ m TiO}_2$	$_{ m MgO}$	CaO/SiO ₂
1#	55.62	8.86	5.36	1.63	0.22	1.73	0.86	1.65
2#	56.07	9.13	5.42	1.66	0.30	1.79	1.46	1.68
3#	55.82	9.13	5.41	1.65	0.29	1.78	1.78	1.69
4#	55.58	9.10	5.40	1.64	0.29	1.77	2.10	1.69
5#	55.38	9.10	5.40	1.63	0.29	1.76	2.36	1.69
6#	55.19	9.09	5.39	1.62	0.29	1.75	2.61	1.69

试验结果与分析 2

2.1 MgO 含量对炉料软化性能的影响

不同 MgO 含量下炉料的软化性能如图 2 所示。 由图 2 可知 $T_{10\%}$ 和 $T_{40\%}$ 随 MgO 含量的增加基本呈增 加的趋势。MgO 含量由 0.86% 增加至 2.61% 时, $T_{10\%}$ 由 1 174 ℃增加至 1 212 ℃ 增加了 38 ℃; $T_{40\%}$ 由 1 319 ℃增加至1 384 ℃ 增加了65 ℃; 炉料的软化温 度区间也整体呈增加的趋势。MgO 含量由0.86%增 加至 2.61% 时 ΔT_s 由 145% 增加至 172% 增加了 27~%。混合炉料的 $T_{10\%}$ 和 $T_{40\%}$ 主要与浮氏体含量和 矿物质的熔点有关。MgO 含量的增加 使得含铁炉料 的还原性能降低[11-12] 进而使得混合炉料中 FeO 大 量出现的温度区间向高温区移动; 同时 烧结矿和球 团矿中的 MgO 含量增加以后 烧结矿和球团矿中的 高熔点物质钙镁橄榄石(CaMg(SiO₄)) 熔点 1 890 ℃、 镁蔷薇石(3CaO·MgO·2SiO₂) 熔点 1 598 ℃、镁黄 长石(MgO·2CaO·2SiO₂)熔点 1 458 ℃、铁酸镁 (MgO · Fe₂O₃) 熔点1 580 ℃ 、镁橄榄石 (Ca₃Mg (SiO₄)₂) 熔点 1 551 ℃ 、方镁石(MgO) 熔点 1 800 ℃ 等矿物增加 $^{[13-15]}$ 导致 $T_{10\%}$ 和 $T_{40\%}$ 随着混合炉料的 MgO 含量增加而整体呈升高的趋势。

MgO 含量与 $T_{40\%}$ 、 T_s 的关系如图 3 所示。综合 炉料的温度在 $T_{40\%}$ 后含铁物料基本完全熔化 ,并进 入焦炭缝隙之中。由图 3 可知 MgO 含量为 0.86% 时,T40% 与T。几乎相等,说明炉料 MgO 含量在 0.86% 时全部熔化后压差开始上升。MgO 含量大 于 0.86% 后 $T_{40\%}$ 大于 T_{s} 说明在相同焦炭含量情 况下少量的渣就使气体难以通过 ,出现初渣没有完全形成时就使压差开始上升。 ${
m MgO}$ 含量越高 ,熔化的初渣黏度越大 ,阻碍气体穿透的能力越强 , $T_{
m 40\%}$ 和 $T_{
m s}$ 的差距越大。

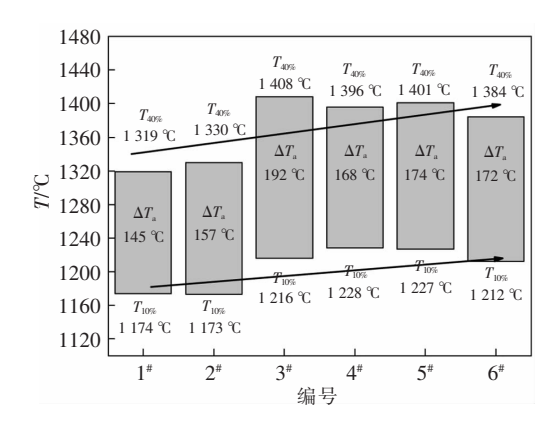


图 2 MgO 含量对炉料软化性能的影响 Fig. 2 Effect of MgO content on softening property of burden

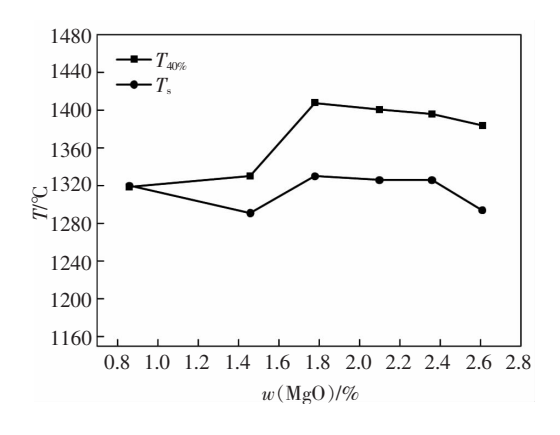


图 3 MgO 含量与 $T_{40\%}$ 、 T_s 的关系 Fig. 3 Relationships between MgO content and $T_{40\%}$, T_s

2.2 MgO 含量对炉料熔化性能的影响

不同 MgO 含量下炉料的熔化性能如图 4 所示。由图 4 可知 T_s 和 T_d 随 MgO 含量的增加基本呈增加的趋势。MgO 含量由 0.86% 增加至 2.61% 时 T_s 由 1.320% 增加至 1.344% 增加了 1.324% 计和的熔化温度区间也整体呈增加的趋势。1.324% 增加了 1.324% 增加至 1.324% 增加了 1.324% 电力 1.324% 电

 $(MgO \cdot 2CaO \cdot 2SiO_2)$ 、铁酸镁 $(MgOFe_2O_3)$ 、镁橄榄石 $(Ca_3Mg(SiO_4)_2)$ 、方镁石(MgO) 等物质 $^{[13-15]}$ 这使得初渣熔化开始温度升高 T_s 增加; 同时 ,由于 MgO 使得炉料的还原性能降低 $^{[5]}$ 炉料熔化带还原出的金属铁含量降低 不利于该区域渗碳反应的发生,使得炉料的滴落温度 T_s 增加。

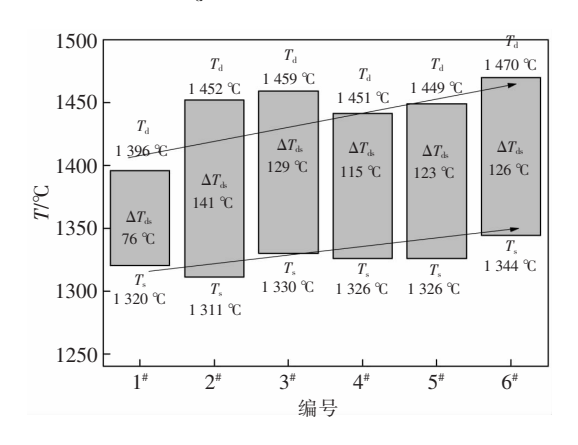


图 4 MgO 含量对炉料熔化性能的影响 Fig. 4 Effect of MgO content on melting property of burden

2.3 MgO 含量对软熔带最大压差的影响

不同 MgO 含量下的软熔带最大压差如图 5 所示。由图 5 可知 ΔP_{max} 随 MgO 含量的增加逐渐增加。MgO 含量由 0.86%增加至 2.61%时 ΔP_{max} 由 2.04 kPa 增加至 20 kPa 增加了 17.96 kPa 增加幅度较大 不利于高炉的稳定顺行。软熔带的压差主要与初渣的流动性能有关。由于 MgO 含量的增加,使得初渣中高熔点的物质增加 初渣的黏度升高 流动性能变差 煤气流穿透阻力增加 进而使得软熔带的最大压力差增加。

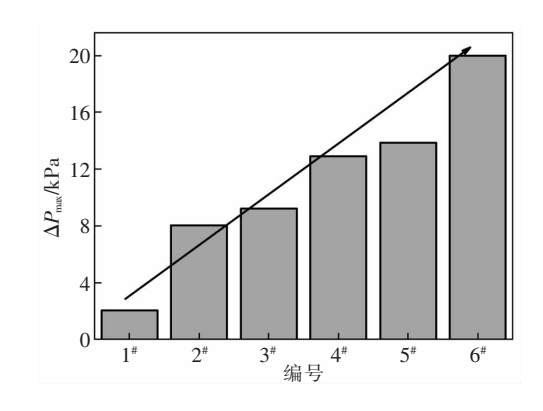


图 5 MgO 含量对软熔带最大压差的影响 Fig. 5 Effect of MgO content on the $\Delta P_{\rm max}$ of the softening and melting zone

2.4 MgO 含量对软熔带综合透气性的影响 不同 MgO 含量下的软熔带综合透气性指数如 图 6 所示。

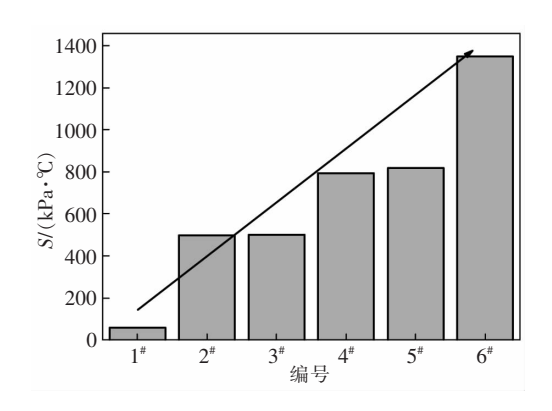


图 6 MgO 含量对软熔带综合透气性指数的影响 Fig. 6 Effect of MgO content on comprehensive permeability index of softening and melting zone

由图 6 可知 S 随 MgO 含量的增加逐渐增加。 MgO 含量由 0.86% 增加至 2.61% 时 S 由 59 $kPa \cdot \mathbb{C}$ 增加至 1.349 $kPa \cdot \mathbb{C}$ 增加幅度较大 高炉软熔带的 透气性能恶化明显 不利于高炉的稳定顺行。软熔带的综合透气性指数的大小主要与熔化带的温度区间

以及压差的大小有关。熔化带的透气性能最差 MgO 的增加使得熔化带的温度区间增加 熔化带变厚 同时熔化带中初渣的流动性能降低 压差增加 使得软熔带的透气性能整体降低 S 升高。虽然 MgO 对炉料的软熔滴落性能存在一定的劣化作用 使得炉料的透气性降低 但是其是高炉终渣渣系中不可缺少的成分。在冶炼过程中 在保证高炉终渣具有适宜的冶金性能的前提下应该尽量减少原料中的 MgO 含量。

3 结论

- 1) 随着混合炉料中 MgO 含量的增加 初渣中高熔点物质增加使 $T_{10\%}$ 、 $T_{40\%}$ 升高 ,软化区间变宽。 MgO 含量越高 , $T_{40\%}$ 与 T_s 差距越大 ,初渣性能差 ,渣量小就能导致压差的急剧升高。
- 2) 随混合炉料中 MgO 含量的增加 $T_s \setminus T_d \setminus \Delta T_{ds}$ 均呈升高的趋势 导致熔化温度区间变宽 熔化带的厚度增加。
- 3) 随混合炉料中 MgO 含量的增加 ,软熔带的 ΔP_{max} 和 S 均增加 ,软熔带的透气性降低 ,不利于高炉的稳定顺行。

参考文献

2009 26(4):327-332.)

- [1] Shen Fengman. Discussion on BF operation with high Al₂O₃ slag[J]. Angang Technology 2005(6):1-4. (沈峰满. 高 Al₂O₃ 含量渣系高炉冶炼工艺探讨[J]. 鞍钢技术 2005(6):1-4.)
- [2] He Huanyu ,Wang Qingxiang Zeng Xiaoning. Effect of MgO content on BF slag viscosity [J]. Journal of Iron and Steel Research , 2006, 18(6):11-13.
 - (何环宇, 王庆祥, 曾小宁. MgO 含量对高炉炉渣粘度的影响 [J]. 钢铁研究学报 2006, 18(6):11-13.)
- [3] Song Yachao "Wang Ping "Li Jiaxin *et al.* Experimental study on slag optimization of 4 000 m³ BF with Al₂O₃-rich slag in Masteel [J]. Journal of Anhui University of Technology 2009 26(4):327-332. (宋亚超 王平 李家新 等. 马钢 4 000 m³ 高炉高 Al₂O₃ 炉渣渣系优化试验研究[J]. 安徽工业大学学报(自然科学版),
- [4] Shen Fengman Zheng Haiyan Jiang Xin *et al.* Influence of Al₂O₃ in blast furnace smelting and discussions on proper w(MgO) / w(Al₂O₃) ratio [J]. Iron and Steel 2014 49(1):1-6.
 - (沈峰满,郑海燕,姜鑫, 等. 高炉炼铁工艺中 Al,O, 的影响及适宜 w(MgO)/w(Al,O,) 的探讨 [J]. 钢铁 2014 49(1):1-6.)
- [5] Liu Ran Li Hongwei Li Haojie et al. Effect of MgO content on the quality of low-titanium sinter [J]. Iron Steel Vanadium Titanium 2015 36(3):73-77.
 - (刘然 李红玮 李豪杰 等: MgO 含量对低钛烧结矿质量的影响[J]. 钢铁钒钛 2015 36(3):73-77.)
- [6] Fan Xiaohui ,Li Wenqi ,Gan Min *et al.* Influence and mechanism of MgO on strength of high basicity sinter [J]. Journal of Central South University (Science and Technology) 2012 43(9):3325-3330.
- [7] Liu Xiaojie Li Jianpeng Liu Song et al. Research and development for the effect of MgO on the blast furnace production [J]. Multipurpose Utilization of Mineral Resources 2019(2):16-20.
 - (刘小杰 李建鹏 刘颂 等. MgO 对高炉生产影响的研究现状及其展望[J]. 矿产综合利用 2019 (2):16-20.)

- [8] Qing Gele "Wu Keng "Qu Junjie *et al.* Effect of different magnesium additives on process parameters and pellet quality [J]. Iron and Steel 2013 48(7):17-20.
 - (青格勒 吴铿 屈俊杰 等. 不同含镁添加剂对球团矿工艺参数及质量的影响[J]. 钢铁 2013 A8(7):17-20.)
- [9] Gao Qiangjian "Wei Guo "He Yibo *et al.* Effect of MgO on compressive strength of pellet [J]. Journal of Northeastern University (Natural Science) 2013 34(1):103-106.
 - (高强健 魏国,何奕波, 等. MgO 对球团矿抗压强度的影响[J]. 东北大学学报: 自然科学版 2013, 34(1):103-106.)
- [10] Fan Xiaohui , Gan Min , Jiang Tiao et al. Influence of flux additives on iron ore oxidized pellets [J]. Journal of Central South University of Technology 2010(17):730-732.
- [11] Liu Chao ,Zhang Yuzhu ,Kang Yue ,et al. Effect of MgO content on properties of low sintering ore [J]. Foundry Technology , 2017 ,38(4):885–888.
 - (刘超 张玉柱 康月 等. MgO 含量对低硅烧结成矿性能的影响[J]. 铸造技术 2017 38(4):885-888.)
- [12] Pan Xiangyang Long Yue Li Shenzi *et al.* Effect of MgO/Al₂O₃ on metallurgical properties of sinter [J]. Iron Steel Vanadium Titanium 2019 40(4):100-105.
 - (潘向阳,龙跃,李神子, 等. MgO/Al₂O₃ 对烧结矿冶金性能的影响[J]. 钢铁钒钛 2019 40(4):100-105.)
- [13] Pan Xiangyang. The influence of MgO composition on the metallurgical properties of blast furnace comprehensive burden [D]. Tangshan: North China University of Science and Technology 2019.
 - (潘向阳. MgO 的配分对高炉综合炉料冶金性能的影响[D]. 唐山: 华北理工大学 2019.)

(4):25-29.

- [14] Liu Chao Zhang Yuzhu Kang Yue. Factsage calculation of the influence of MgO on the viscosity of BF slag[J]. Journal of Hebei United University (Natural Science Edition) 2016 36(4):25-29.

 (刘超 涨玉柱 康月. Factsage 计算 MgO 含量对高炉渣粘度的影响[J]. 河北联合大学学报(自然科学版) 2016 36
- [15] Yang Nan. Mechanism of MgO in formation-crystallization of calcium ferrite during iron ore sintering process [J]. Beijing: University of Science and Technology Beijing 2019.
 - (杨楠.铁矿粉烧结过程 MgO 对铁酸钙生成-结晶作用机理研究[D].北京:北京科技大学 2019.)

编辑 杨冬梅

攀钢率先突破国内高碳马氏体不锈钢连铸技术

在攀钢研究院特钢研究所和攀长特联合攻关下,日前 95Cr18 高碳马氏体不锈钢连铸第 3 轮工艺试验 取得成功 标志着攀钢率先突破国内碳含量 $\ge 0.90\%$ 的高碳马氏体不锈钢连铸技术。目前 .该钢种已实现稳定生产。

95Cr18 高碳马氏体不锈钢是碳含量最高的不锈钢品种 属于高合金特殊钢 具有优异的耐磨性能和耐腐蚀性能 用于制造高端耐蚀轴承、刀具、汽车发动机和家电关键零部件 ,市场前景广阔。因 95Cr18 高碳马氏体不锈钢材料的物理特性 ,连铸生产面临坯料高温强度高、塑性差、导热慢等技术瓶颈 ,行业内一直采用模铸生产 ,存在综合成材率低、成本高等问题。

为破解行业技术难题 特钢技术研究所与攀长特发挥各自优势 协同创新 结合材料物理性能及高温性能测定、连铸过程数值仿真等手段 制定了详尽的连铸工艺技术试验方案。经过多次试验和不断改进 连铸坯及轧制成品质量优异 综合成材率显著提高 生产成本有效降低 生产效率得到明显提升。

95Cr18 高碳马氏体不锈钢连铸的成功是攀钢继 2018 年突破高氮奥氏体气阀钢 21-4N 连铸技术、2019 年突破 6Cr13Mo 高碳马氏体不锈钢连铸技术后 高合金特殊钢连铸技术的又一重大突破。

摘自 http://www.pzhsteel.com.cn/index.php? s=/Home/Article/pg_jianjie/art_bm_id/101/fl/two/msg_id/2339